



وزارة التعليم العالي والبحث العلمي  
جامعة بابل - كلية العلوم  
قسم علوم الحياة

دراسة نسبية للشبكة الظهرية لعين الصقر البني في العراق.

بحث مقدم الى  
مجلس كلية العلوم – جامعة بابل

وهي جزء من متطلبات نيل درجة بكالوريوس  
في علوم الحياة  
من قبل الطالبة

نور سعيد

بإشراف

أ.د. أمل علي الطائي

امار ٢٠٢٣

شوال ١٤٤٣

## دراسة نسجية للشبكة الظهرية في عين الصقر البني في العراق.

### الخلاصة: Abstract

هدفت الدراسة الحالية الى التعرف على التركيب النسجي للشبكة الظهرية لعين الصقر البني. اظهرت النتائج بأن الشبكة في الصقر هي لاوعائية، تتتألف الشبكة الظهرية من طبقتين هما: تتألف الشبكة في الصقر من طبقتين رئيسيتين هما : الخارجية وتمثل الطبقة الظهرية المخصوصة Pigmented epithelium، أما الداخلية فهي الطبقة العصبية التي تقسم الى تسع طبقات هي : طبقة الخلايا البصرية Visual cells layer المؤلفة من قصبان ومخاريط ، والغشاء المحدد الخارجي External nuclear membrane ، والطبقة النووية الخارجية Outer limiting membrane ، والطبقة الضفيرية الخارجية External plexiform layer، والطبقة النووية الداخلية Internal nuclear layer، والطبقة الضفيرية الداخلية Internal plexiform layer، وطبقة الخلايا العقدية Optic nerve fiber، وطبقة الياف العصب البصري الداخلي Ganglion cell layer، وطبقة الغشاء المحدد الداخلي Inner limiting membrane تتكون الظاهرة المخصوصة من خلايا ظهارية مكعبة ، وتمتد من سطحها الداخلي استطالات سايتوبلازمية باتجاه الخلايا البصرية. تتتألف طبقة الخلايا البصرية من قصبان ومخاريط. وتكون الطبقة الضفيرية الخارجية اقل سمكاً من الطبقة الضفيرية الداخلية. ويكون عدد صفوف الطبقة النووية الخارجية اقل من عدد صفوف الطبقة النووية الداخلية في الصقر. وبهذا نستنتج بأن الاختلاف في كثافة الخلايا البصرية يعود الى زيادة حدة البصر وتحسن مستوى الضوء .

**الكلمات المفتاحية :** الشبكة ، نسجي ، الصقر

## المحتويات Content

رقم الصفحة	العنوان
II - I	<b>المحتويات Content</b>
III	<b>قائمة الاشكال Figure List</b>
IV	<b>قائمة الجداول Table List</b>
	<b>الخلاصة Abstract</b>
4	<b>المقدمة واستعراض المراجع Introduction and Literature Review</b>
10	<b>اهداف من الدراسة: Aims of The Study</b>
11	<b>المواد وطرائق العمل</b>
11	<b>حيوانات التجربة: Animal of The experiment</b>
11	<b>تشريح الحيوان Animal Dissecting</b>
11	<b>الدراسة النسيجية Histological Study</b>
11	<b>التثبيت Fixation</b>
11	<b>غسل العينات Sample Washing</b>
11	<b>ازالة الماء Dehydration</b>
12	<b>الترويق Clearing</b>
12	<b>الترويق Clearing</b>
12	<b>الطمر Embedding</b>
12	<b>التقطيع Sectioning</b>
12	<b>التحميل Mounting</b>
12	<b>التصبغ Staining</b>
12	<b>الفحص المجهرى Microscopic Examination</b>
13	<b>التصوير الفوتوغرافي Photography</b>
13	<b>التحليل الاحصائى Statistical Analysis</b>
14	<b>النتائج والمناقشة Result and Discussion</b>

19	<b>Conclusion</b>	الاستنتاجات:
19	<b>Recommendation</b>	النوصيات:
20		الخلاصة الانكليزي
20		المصادر: References

### قائمة الاشكال Figure List

رقم الصفحة	العنوان	الترتيب
4	تشريح العين في الطيور	1
8	قطع في الشبكية : في الطبقة ٨ توجد <u>عصبونات الشبكية</u> ganglion cell . وفي الطبقة ٢ توجد الخلايا العصوية والمخروطية . يسقط الضوء من أعلى إلى أسفل.	2
9	شكل العصبي والمخاريط	3
16	شكل (٤): سمك طبقات الشبكية الظاهرة ( $\mu\text{m}$ ) في عين الصقر البني.	4
19	قطع طولي يوضح تركيب المشط pectine في عين الصقر ملون الهيماتوكسلين - ايوسين. X١٠	5
19	قطع طولي يوضح طبقات شبکية العين في الصقر . (١) الطبقة الخضابية الظهارية، (٢) طبقة الخلايا البصرية، (٣) الغلاف المحدد الخارجي ، (٤) الطبقة التووية الخارجية، (٥) الطبقة الصفييرية الخارجية، ملون الهيماتوكسلين - ايوسين. X٤٠٠	6
20	قطع طولي يوضح طبقات شبکية العين في الصقر: (٥) الطبقة الصفييرية الخارجية، (٦) الطبقة التووية الداخلية، (٧) الطبقة الصفييرية الداخلية ، ، (٨) طبقة الخلايا العقدية، (٩) طبقة الالياف العصبية البصرية ، ، (١٠) الغلاف المحدد الداخلي ، ملون الهيماتوكسلين - ايوسين. X٤٠٠	7

### قائمة الجداول Table List

رقم الصفحة	العنوان	الترتيب

## المقدمة: Introduction

الصقر البني Brown Falcon

ينتمي الصقر البني للطيور الجارحة ويصنف كما يلي:

Kingdom: Animalia

Phylum: Chordata

Class: Aves

Order: Falconiformes

(Sharpe, 1874)

Family: Falconidae

Leach 1820

Genus: Falcon

الصقور هي طيور جارحة تنتمي إلى جنس الـ Falcon ، الذي يضم ٤٠ نوعاً. يمكن العثور على الصقور في كل قارة باستثناء القارة القطبية الجنوبية ، حيث تعايشت مع الطيور الجارحة ذات الصلة الوثيقة (Marcos et. al., 2016). تتمتع الصقور البالغة بأجنحة رفيعة مستدقة تسمح لها بالطيران بسرعة وتغيير الاتجاهات. في السنة الأولى من طيرانها ، تمتلك الصقور الوليدة ريش طيران أطول (Oliver, 2005).

## النظام البصري Visual System

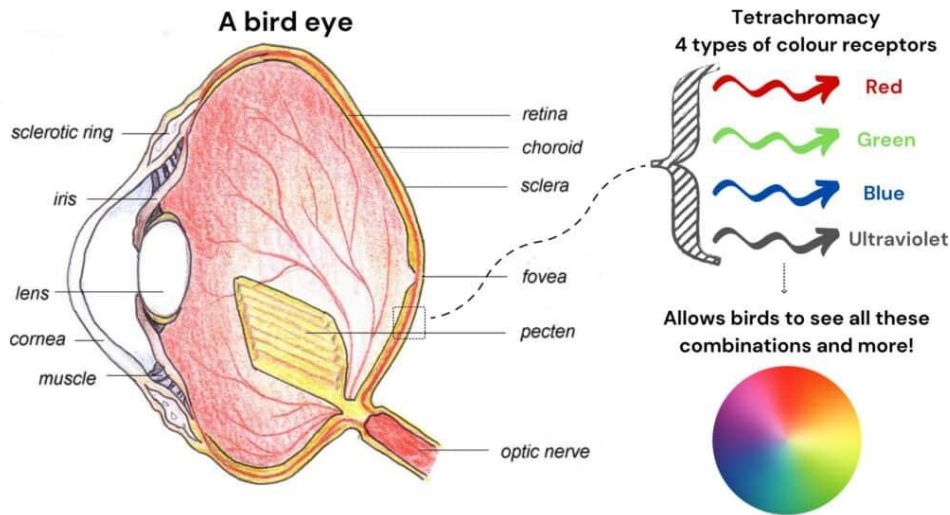
تتمتع الطيور بقدرات بصرية استثنائية تعادل أو تفوق قدرات الرئيسيات ، ولكن لا يُعرف الكثير عن كيفية تعامل دماغ الطيور مع المشكلات البصرية المعقدة (Shimizu وآخرون، 2010).

تتمتع الطيور غالباً بروؤية ممتازة وعيون كبيرة والعديد من المراكز البصرية الواسعة في الدماغ ، مما يساهم بشكل كبير في ذلك. يتم توجيهه الكثير من مدخلات شبکية العين إلى دماغ الطيور من خلال الطبقات العليا من السقف ، حيث يتم تقاطعها وترتيبها بطريقة تنظيرية. لدى النسور والصقور حدة بصرية ضعف تلك التي لدى الرئيسيات (Gaffney and Hodos ، 2003).

## تركيب العين Eye structure

تتكون العين من ثلاثة طبقات مختلفة ؛ الطبقة الخارجية أو غلاف القرنية الذي تشكله الصلبة والقرنية ؛ الطبقة المتوسطة أو القناة العنبية ، التي تتكون من القزحية والجسم الهدبي والمშيمية ؛

الطبقة الداخلية ، وهي الجزء الحسي من العين ويعرف بالشبكة Retina (شكل - ١). هناك ثلث غرف للسوائل. الغرفة الأمامية الواقعة بين القرنية والقزحية. الغرفة الخلفية الواقعة بين القزحية وألياف المنطقة والعدسة والغرفة الزجاجية الواقعة بين العدسة وشبكة العين (Cordero et al., 2012).



شكل (١): شكل يوضح تركيب العين في الطيور

### الشبكة Retina

تعتبر العيون عضواً معقداً وظيفته الأساسية جمع الضوء وتركيزه على شبكة العين الحساسة للضوء (Altunay et al., 2004).

تمثل شبكة العين (اللاتينية: "rete") الطبقة الأعمق من الأنسجة الحساسة للضوء في عيون معظم الفقاريات وتحتل الطبقة الداخلية للعين وتتصف بكونها رقيقة لا يتعدى سمك ورقة كتاب. تنتج بصريات العين تمثيلاً ثنائياً الأبعاد مرتكزاً للعالم المرئي على شبكة العين ، والذي يترجم إلى نبضات عصبية كهربائية وينتقل إلى الدماغ لتوفير الإدراك البصري. تؤدي شبكة العين دوراً مشابهاً لدور الفيلم أو مستشعر الصورة في الكاميرا. تتكون شبكة العين العصبية من طبقات عديدة من الخلايا العصبية المرتبطة بمشابك ومدعومة بطبقة من الخلايا الظهارية المصطبة من الخارج (William et al., 2005). وصف على (2009) وصف الشبكة بأنها جزء من العين، (الجزء الداخلي العصبي في عين الطيور) وهو أصل العصب البصري ، هو أعمق طبقة في كرة العين، تمتاز بكثافة عالية للخلايا العصبية وترتبط بقوة بالطبقة المشيمية.

الهندسة المعمارية الشبكية للطيور ، وخاصة الطيور الجارحة ، معروفة جيداً. على الرغم من أن طبقات الشبكة مرتبة بنفس الطريقة في الطيور كما هو الحال في الفقاريات الأخرى ، إلا أن هناك اختلافات كبيرة في بنية الشبكة ، ومناطق الحد الأقصى من حدة الإبصار والأوعية الدموية في الشبكة (Ones et al., 2007).

تعرف الطيور ولا سيما الطيور الجارحة منها بهيكل شبكيّة العين الفريد في نوعه على الرغم من ان تركيب طبقات الشبكيّة في الطيور هو نفسه في الفقريات الأخرى (Walls, 1963). تكون الاختلافات في شكل شبكيّة العين ان مناطق حدة البصر تكون عالية وكثرة الاوعية الدموية في شبكيّة العين تكون مهمة (Jones *et al.*, 2007). يتم تحسين حدة البصر للطيور عن طريق تركيب (هيكل شبكيّة العين) بحيث تكون الكثافة الوظيفية للمستقبلات الضوئية أكبر بعدها مرات من الانسان. يكون العدد النسبي للمخاريط لكل قضيب عادة أعلى في الأنواع النهارية وبالتالي شبكيّة العين في الطيور النهارية غنية باستمرار بالمخاريط ولذلك تظهر أعلى حدة بصر على القصبات من شبكيّة العين في الطيور الليلية ولديها كثافة نسبية كبيرة في المستقبلات الضوئية في القصبات وبالتالي حساسية بصرية عالية (Kiama *et al.*, 2001).

في التطور الجيني للفقاريات، تنشأ شبكيّة العين والعصب البصري من امتدادات التتميمية المخية فلذلك نجد أن الشبكيّة تعتبر جزء من **الجهاز العصبي المركزي** وهي الجزء الوحيد الظاهر والغير غائر من الجهاز العصبي المركزي. نجد كذلك أن شبكيّة العين عبارة عن بنية معقدة مكونة من عدة طبقات من الخلايا العصبية مرتبطة مع بعضها عن طريق ما يسمى synapses وهي عبارة عن التقاء خلتين مع بعضهما البعض (Kandel *et al.*, 2000; Harvey, 2004).

عند دراسة مقطع في الشبكيّة نجد أن الشبكيّة في الإنسان وفي الفقاريات مكونة من عشر طبقات مميزة (Kandel *et al.*, 2000; Harvey, 2004) هي من الخارج إلى الداخل. (شكل - ٢) وهي:

١- نسيج طلائي صبغي للشبكيّة (PEL): هي الطبقة الخارجية للشبكيّة تحتوي على خلايا طلائية مكعبية، تمتص طبقة الميلانين الكثيفة في هذه الخلايا الضوء الملقط ولا تلتقط صورة.

٢- طبقة مستقبلة للضوء (PRL): تحتوي على العصبي والمخاريط للخلايا العصبية (٣).

١- العصبي rods وظيفتها الرئيسية في الضوء الخافت حيث تعمل على توفير رؤية الأبيض والأسود وهي أكثر عدد و تتركز في اطراف الشبكيّة.

٢- المخاريط cones وظيفتها دعم الرؤية بالنهار وإدراك باقي الألوان و تتركز في مركز الشبكيّة. توجد في كل نوعي الخلايا بروتينات معينة تسمى أوبسينات متنوعة، وتلك الأوبسينات هي الحساسة للضوء.

يوجد نوع ثالث وهو نوع قليل من مستقبلات الضوء وهو عبارة عن خلايا عقدية (عصيونات الشبكيّة) حساسة للضوء وهي ذات أهمية للاستجابات الانعكاسية في ضوء النهار الساطع.

٣- غشاء خارجي محدود، (OLM): هو غشاء قاعدي يفصل بين القطع الداخلية للأجزاء المستقبلة للضوء والخلايا النوية تكون قريبة من طبقة الطلاء الصبغي

خلف الشبكية والشبكية العصبية، تتكون من وصلات بين الفسح تحت الشبكية والتي تمتد فيها القطع الداخلية والخارجية من المستقبلات الضوئية (Kandel *et al*,2000).

٤- طبقة نووية خارجية (ONL) Outer Nuclear Layer : تحتوي على اجسام الخلايا المستقبلة (العصبي والمخاريط) (Cuenca *et al*,2004).

٥- طبقة خارجية ضفيرة الشكل (OPL) Outer Plexiform Layer : تحتوي على تشرفات الخلايا ثنائية القطب وخلايا افقية وتشابك مع محاور الخلايا المستقبلة للضوء (Palmer and Rose,2006).

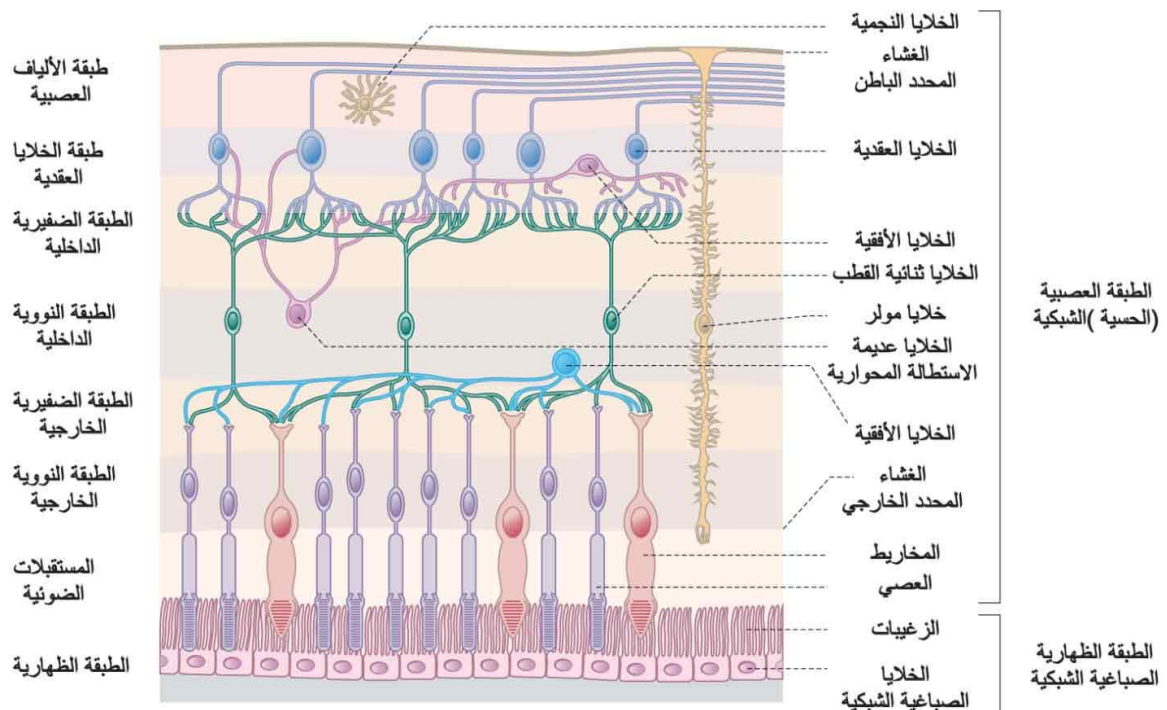
٦- الطبقة النووية الداخلية (INL) Inner Nuclear Layer تحتوى على خلايا عصبية ذات قطبين وتشمل الخلايا الافقية وخلايا الاماكن.

٧- طبقة داخلية ضفيرة الشكل (IPL) Inner Plexiform Layer: تحتوي على تشرفات الخلايا العقدية والتي تشترك مع محاور الخلايا ثنائية القطب (تعتبر محطة رجوع للمعلومات العمودية للخلايا العصبية الناقلة (Cuenca *et al.*, 2004).

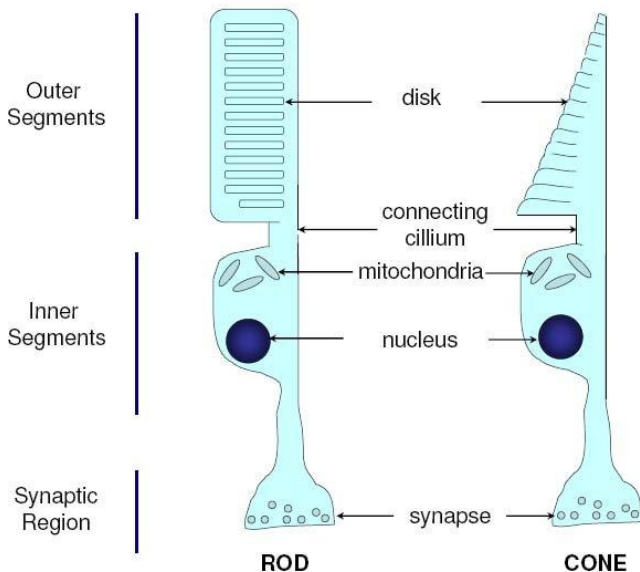
٨- طبقة الخلايا العقدية (GCL) Retinal Ganglionic Cell Layer وهي نوع من الخلايا العقدية والتي تعطي محاور الياف العصب البصري وتمتد الى الدماغ بخلايا الاماكن (Payne and Rushmore, 2002).

٩- طبقة عصبية ليفية (NFL) Nerve Fiber Layer: تحتوي على محاور الخلايا العقدية والتي تمر عبر الشبكية الى العصب البصري ومن ثم عبر التصالب البصري الى القناة البصرية والقناة المرفقة الجانبية للمهاد (Fleming *et al*,2006).

١٠- غشاء داخلي محدود ( ILM ) Inner Limiting Membrane ( Hing, 2003 ) هو غشاء قاعدي يفصل النسيج العصبي للشبكية عن النسيج الرابط للخلط الخلوي Vitreous humor.



شكل (٢): مقطع في الشبكية : في الطبقة ٨ توجد عصبونات الشبكية . ganglion cell . وفي الطبقة ٢ توجد الخلايا العصبية والمخروطية . يسقط الضوء من أعلى إلى أسفل.



شكل (٢): شكل العصي والمخاريط مقتبس من  
<https://www.researchgate.net/publication/228757697>

توجد كذلك هياكتل إضافية ولكن ليس لها صلة بالرؤية حيث توجد على شكل امتدادات لشبكة العين في بعض المجموعات من الفقاريات ، ففي الطيور نجد ال (pectin) وهو عبارة عن هيكل وعائي له شكل معقد حيث يبرز من الشبكة ويقوم بإمداد العين بالأكسجين والمواد الغذائية ، ومن الممكن أن يساعد في الرؤية وفي الزواحف بالمثل ولكنها أكثر بساطة في البنية. في الإنسان تقوم المشيمية التي تغطي النسيج الطلائي الصبغي للعين بمهمة تغذية الخلايا المستقبلة للضوء (Bonney *et al.*, 2001). يوجد المشط في جميع الطيور وبعض الزواحف (Kiama *et al.*, 2001). (2004).

للعديد من أنواع الطيور مناطق داخل شبكة العين تكون الكثافة الوظيفية عالية والتي تحتوي على وتكون المخاريط سائدة على القضبان. تحتوي الشبكة على مناطق تعرف بالقرفة تمتد بوظيفتها في زيادة حدة البصر، هنالك نقرتان موجودة في أنواع مختلفة من الطيور النهارية (الصقر، النسر، العقاب) (Samuelson, 1999). القرفة العميق (المنطقة المنخرية المركزية) والنقرة السطحية الموجودة في المنطقة الصدغية (walls, 1963). تكون شبكة الطيور غير متشابهة، تتم التغذية بصورة رئيسية من جسم غني بالأوعية الدموية يعرف المشط العيني. تستلمها الأنسجة من الأوعية الدموية القرنية (Kiama *et al.*, 2001). الامشاط تمتد من العصب البصري الرئيسي من الجسم الزجاجي في العين والتركيب الوعائي يكون أكبر وأكثر تقضيلاً في الطيور النهارية diurnal مقارنة بالطيور الليلية Nocturnal (Jones *et al.*, 2007). التركيب الوعائي للشبكة يجهز ممراً قليلاً التشتت للضوء وينتقل من سطح الشبكة للمستقبلات الضوئية وبالتالي يؤثر على الرؤية حيث تكون أكثر حدة.

### الرؤية Vision

تحدث رؤية الألوان اعتماداً على التكامل الوظيفي للخلايا المخروطية، وما فيها من أنواع مختلفة من الأنسونات. فمنها ما يستجيب للون الأحمر ومنها ما يستجيب للون الأزرق خلال رؤية النهار. الرؤية تحت ظروف الإضاءة القوية تسمى (Photopic Vision)، أي رؤية النهار؛ أما الرؤية تحت ظروف الإضاءة الخافتة تسمى (scotopic vision)، أي رؤية الظلام أو الرؤية الليلية . فالعين تعمل باستخدام الخلايا العصوية بفاعلية عالية تحت ظروف الرؤية في الظلام ، بينما تعمل باستخدام الخلايا المخروطية بفاعلية عالية تحت ظروف الرؤية في الضوء أو رؤية النهار (Gold , 1990).

يمكن تبسيط العمليات الخاصة بالرؤية في ٤ مراحل: استقبال الضوء، انتقال الإشارات عبر الخلايا الثنائية، انتقال الإشارات عبر الخلايا العقدية ganglion cells وهي تحوي أيضاً مستقبلات للضوء، ثم انتقال الإشارات إلى المخ عن طريق عصب العين.

يسقط الضوء القادر من عدسة العين على الطبقة ١٠ ويستمر في طريقه خلال الخلايا وكلها شفافة حتى يصل على الطبقة ٢ حيث الخلايا العصوية والخلايا المخروطية. فإذا كانت الإنارة كافية (في النهار مثلا) تقوم الخلايا المخروطية بعمل صورة واضحة ملونة ، وترسل إشاراتها في هيئة أشارات كهروكيميائية إلى الطبقات ٣ ، ٤ ، ٥ ، ٦ ، ٧ حتى الطبقة ٧ حيث تجمع العصيونات العقدية الإشارات إلى عصب العين الذي ينقلها بدوره إلى الدماغ. يقوم الدماغ بتحليل الإشارات وترتبتها بحيث يمكن رؤية الصورة.

### **Aim of the Study**

هدفت الدراسة الحالية إلى معرفة التركيب الشكلي والنسيجي للشبكة الظهرية للعين في الصقر البني .

## **٢- المواد وطرائق العمل Materials and Methods**

### **١-٢ حيوانات التجربة Animal of the experiment**

تم اجراء الدراسة الحالية على الصقر البري البني في العراق، تم الحصول على العينة من السوق المحلية لمدينةحلة في محافظة بابل. اجريت الدراسة على شبكة العين للصقر البني في جامعة بابل- كلية العلوم -قسم علوم الحياة..

### **٢-٢ تشريح الحيوان Animal Dissecting**

تم تخدير الحيوان بواسطة الكلوروفورم. وبعد ذلك قطع الرأس ، وازيل الريش والجلد ، ثم كسرت عظام الجمجمة ، وازيلت مقلة العين من المحجر باستخدام ملقط دقيق وقطعت العضلات المرتبطة بها (شكل- ١) وغسلت العينات باستخدام محلول الملح الطبيعي Normal Saline

### **الدراسة النسيجية Histological Study**

حضرت المقاطع النسيجية اعتماداً على طريقة Bancroft و Stevens (2010) وحسب التسلسل التالي :

## **١-٣-٢ التثبيت Fixation**

تم تثبيت العينات بعد غسلها بالمحلول الفسليجي عدة مرات باستخدام مثبت باون المائي aqueous Bouńs solution لمنطقة ٤ ساعتين.

## **٢-٣-٢ غسل العينات Sample Washing**

غسلت العينات باستخدام كحول اثنيلي بتركيز ٧٠٪ أكثر من مرة للتخلص من اللون الاصفر للمثبت، ثم حفظت العينات باستخدام كحول بتركيز ٧٠٪ في انبيب ملامة.

## **٣-٣-٢ ازالة الماء Dehydration**

- نقلت العينات الى تراكيز متدرجة من الكحول الاثيلي وكما موضح أدناه
- ٪ ٧٠ كحول اثنيلي لمدة ساعتين وبواقع مرتين.
- ٪ ٨٠ كحول اثنيلي لمدة ساعة واحدة.
- ٪ ٩٠ كحول اثنيلي لمدة ساعة واحدة.
- ٪ ١٠٠ كحول اثنيلي لمدة ليلة كاملة.

## **٤-٣-٢ الترويق Clearing**

تم نقل العينات الى الزيلين لغرض ترويقها مرتين لمدة ساعة في كل مرة .

## **٥-٣-٢ الترويق Clearing**

نقلت العينات الى مزيج من البرافين والزيلين بنسبة ١ : ١ مرتين ولمدة ٣٠ دقيقة في كل مرة.

**٦-٣-٢ الطمر Embedding** طمرت العينات في شمع البرافين الذائب بدرجة حرارة ٥٨ م° بقوالب طمر مع تحديد اتجاه النسيج وتعليميه.

## **٧-٣-٢ - القطع Sectioning**

قطعت العينات بسمك ٥ مايكرون باستخدام مسراح بدوي

## **٨-٣-٢ التحميل Mounting**

حملت المقاطع النسيجية للحبل السري على شرائح زجاجية باستخدام أح حاير ( بادابة ٥ ملم من اليومين بـ ٥٠ ملم من الكيسترون وتم اضافة الثايمول ١ غم ملح نمو الفطريات ، ثم جفت السلايدات باستخدام صفيحة ساخنة للشرائح الزجاجية بدرجة حرارة ٣٧ م° ) . (Schreihman , 1997

## **٩-٣-٢ التصبغ Staining (Presnell and Schreibman , 1997)**

- ١- تم ازالة البرافين من المقاطع المحملة على الشرائح زجاجية بغمراها بالزايلين لمدة 30 دقيقة
- ٢- اضافة الماء hydrated : وضعت الشرائح الزجاجية بتراكيز متصاعدة للكحول الاثيلي (99.9% و 90% و 80% و 70%) لمدة دققتين لكل تركيز.
- ٣- صبغ المقاطع النسيجية بالهيماتوكسيلين لمدة 3-5 دقائق.
- ٤- غسلت الشرائح الزجاجية بالماء الجاري لمدة ٥ دقائق.
- ٥- صبغت باليوسين (1%) لمدة ١ - ٢ دقيقة (تم تحضيره باذابة ٥ غم ايروسين بـ ٤٥ غم ماء مقطر)
- ٦- تم ازالة الماء بوضع الشرائح الزجاجية بتراكيز متصاعدة للكحول الاثيلي (70% و 60% و 50% و 40% و 30%) لمدة دققتين لكل تركيز.
- ٧- رومت الشرائح الزجاجية بغمراها من الزايلين لمدة ٢-٣ دقيقة.
- ٨- وضع غطاء الشرحة الزجاجية على المقاطع النسيجية وثبت باستخدام لاصق كندا بسلم.

### **٣- الفحص المجهرى Microscopic Examination**

فحصت المقاطع النسيجية مجهرياً باستخدام مجهر مركب Olympus تحت قوى تكبير مختلفة واستخدمت المقاطع النسيجية لمعرفة سمك الطبقات ومكوناتها النسيجية.

### **٤- سمك الطبقات**

تم استخدام العدسة العينية المدرجة ومجهر نوع Olympus لقياس سمك طبقات الشبكية المظهرية.

### **التصوير الفوتوغرافي Photography**

تم تصوير المقاطع النسيجية المصبغة باستخدام كاميرا Sony ومجهر مركب نوع Olympus تحت قوى تكبير مختلفة.

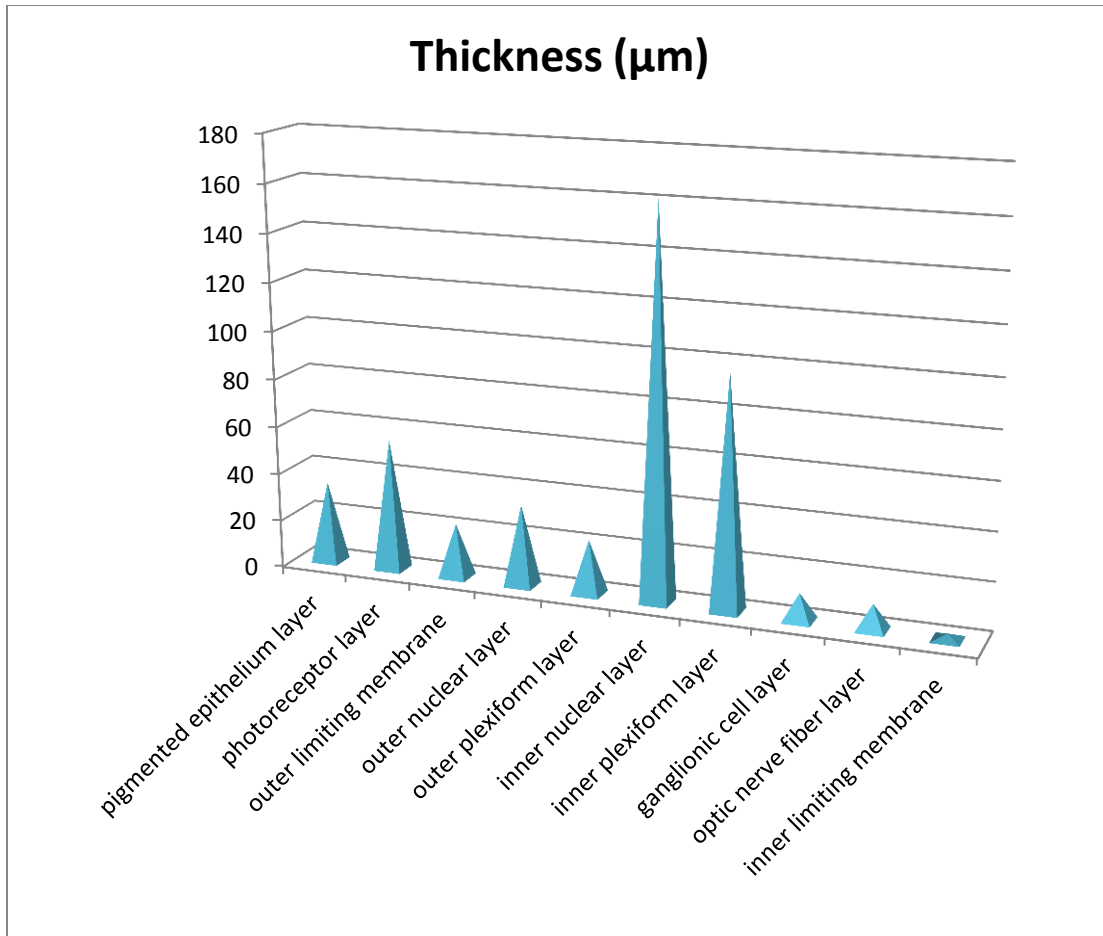
### **٥- التحليل الاحصائي Statistical Analysis**

حللت النتائج باستخدام اختبار ANOVA بأقل فرق معنوي (L.S.D) واختبار دنكن لمعرفة اقل فرق معنوي تحت مستوى احتمال ( $p \leq 0.05$ ) باستخدام البرنامج الاحصائي SPSS الاصدار 23.

## النتائج والمناقشة: Results and Discussion

بيّنت النتائج أن الشبكيّة الظهريّة في عين الصقر البني كانت لاوعائية كما هو الحال في أغلب الطيور ، وهذا ما تتميّز به الشبكيّة في الطيور (Al-Sheikhly *et al.*, 2010) ، Abed *et al.*, 2014 ، لذلك فإنها تزود بالاوكسجين والتغذية من تركيب خضابي متعدد الطيارات غني بالاواعية الدموية، يقع فوق العصب البصري ويمتد إلى السائل الزجاجي يعرف بمشرط العين (شكل ٥) (Dayan and Ozaydin. 2013)Pectin oculi وعائية ، لكونها نسيج معقد مكون من عدة طبقات من الخلايا المسؤولة عن امتصاص الضوء ونقطه بشكل اشارات إلى الدماغ (Treuting, and Dintzis. 2012). تتألف الشبكيّة في الصقر من طبقتين رئيسيتين هما : الخارجية وتمثل الطبقة الظهاريه المخضبة Pigmented epithelium ، أما الداخلية فهي الطبقة العصبية التي تقسم إلى تسع طبقات هي : طبقة الخلايا البصرية Visual cells المؤلفة من قصبان ومخاريط ، والغشاء المحدد الخارجي Outer limiting membrane ، والطبقة النووية الخارجية External nuclear layer ، والطبقة الضفيرية الخارجية External plexiform ، والطبقة النووية الداخلية Internal nuclear layer ، والطبقة الضفيرية الداخلية Internal plexiform layer ، طبقة الخلايا العقدية Ganglion cell layer ، وطبقة الياف العصب البصري الداخلي Optic nerve fiber layer والغشاء المحدد الداخلي Inner limiting membrane وهذا ما تتميّز به الشبكيّة في الفقريات (شكل ٤) (Hassan, 2023; Szabadfi *et al.*, 2015, She,*et al.*, 2014, Saenz-de- Viteri *et al.*, 2014, Oliveira *et al.*, 2014) تتألف طبقة الظهاره المخضبة من صف واحد من خلايا ظهاريه مكعبه Cuboidal epithelial cells منخفضه ذات نواه بيضويه ، تستند إلى غشاء قاعدي وتمتد من سطحها استطالات سايتوبلازميه عديده تمتد بين الخلايا البصرية وتتميز باحتواها على جسيمات مخضبة في طائر الصقر (شكل-٤) تقوم هذه الطبقة بامتصاص الضوء المبعثر المار خلال الطبقة العصبية وازالة الجذور الحرة منها (Mescher, 2013; El-Beltagy, 2014). أما الشبكيّة العصبية المؤلفة من تسع طبقات فهي : طبقة الخلايا البصرية المؤلفة من القصبان الطويلة والمخاريط ، ويتألف كل من هذه الخلايا من قطع خارجية Outer segment تتدخل مع امتداد الخلايا الظهاريه المخضبة ، وقطع داخليه . Cones ويختلف توزيع المخاريط rods والقصبان من جزء إلى آخر في شبكيّة طائر الصقر ، وتكون القطع الخارجيه للمخاريط مخروطية الشكل واكثر اتساعاً مما في القصبان والتي تكون فيها اسطوانية ونحيفه ، وتكون المخاريط اكثراً من القصبان (شكل-٤) ، وذلك ماتتميز به الطيور ذات النشاط النهاري (Jones, 2007; Alix *et. al.*, 2017) ، وربما تكون الصقر يتملك رؤية عاليه في النهار وتحتل هذه الطبقة ٢٠% من سمك الشبكيّة وهذا ما يميز قدرته على الاقتراس . اما في الشبكيّة العصبية للحيوانات ذات النشاط الليلي تتتألف طبقة الخلايا البصرية من القصبان Rods طوليه ونحيفه وتتعدم المخاريط (Gali, 2014). وتحسّن القصبان لمستوى الضوء الواطيء مهمه عند التمييز بين كثافة العتمه والضوء (Mescher, 2013) . وتكون طبقة الغشاء المحدد الخارجي ذات لون فاتح وغير واضح في بعض المناطق ، وتفصل طبقة الخلايا البصرية عن الطبقة النووية الخارجية في الصقر وت تكون

من بروزات خلايا مولر (Mescher, 2013). تقع الطبقة الضفيرية الخارجية بين الغشاء المحدد الخارجي والطبقة النوية الخارجية (López *et. al.*, 2008). اما الطبقة النوية الخارجية فتتألف من أجسام الخلايا البصرية وبلغ عدد صفوف خلاياها ٤ في طائر الصقر (شكل-٥) وهذا الاختلاف في عدد الصفوف يدل على الاختلاف في كثافة الخلايا البصرية (Treuting, and Dintzis, 2012; Alix *et. al.*, 2017). ربما لكون الصقر يعتمد على الرؤيا الساطعة في التغذية . تعتمد الحيوانات ذات النشاط الليلي على الرؤيا الخافتة في التغذية ويرتبط ذلك بوجود الكثير من القضبان . والطبقة الضفيرية الخارجية تكون ضيقة وتشابك فيها محاور الخلايا البصرية مع تجذيرات كل من الخلايا ثنائية القطب والخلايا الأفقية (شكل -٥) وهذا يتفق مع Mescher (2013). اما الطبقة النوية الداخلية فتتميز بأن خلاياها متراصة ومتتوعة وتتألف من خلايا ثنائية القطب Bipolar cells والخلايا الأفقية Amacrine cells والخلايا عديمة البروزات الطويلة Horizontal cells، ويتراوح عدد صفوفها 25 في طائر الصقر (شكل-٦)، وبذا يختلف عن عددها في شبكيه طائر العوسق والععقق وطائر الفاختة المطوقة (Al-hamadany, 2012; El-Beltagy, 2012; Treuting, and Dintzis, 2012)، ويختلف عن عددها في الفأر والإنسان (2014)، وتكون الطبقة الضفيرية الداخلية أكثر سمكاً من الطبقة الضفيرية الخارجية وتكون من تشابك محاور كل من الخلايا ثنائية القطب والخلايا عديمة البروزات مع تجذيرات الخلايا العقدية (Park *et. al.*, 2014). اما طبقة الخلايا العقدية الـ Ganglion cells فتتكون من صف واحد من الخلايا العقدية وتنقسم خلاياها بحسب حجمها ونواتها (شكل -٧)، يعتمد هذا السمك على كثافة الخلايا في الطبقتين النويتين الخارجية والداخلية (Al-hamadany, 2012; Kim *et. al.*, 2021) تتجمع محاور الخلايا العقدية لتكون طبقة الألياف العصبي والتي يزداد سمكها كلما اتجهت نحو الخلف لتكون العصب البصري optic nerve الذي يغادر العين ويصل إلى الدماغ brain ، وهذا ما أشار إليه Mescher (2013) وطبقة الغشاء المحدد الداخلي الذي يفصل الشبكيه عن السائل الزجاجي، وبعد صفيحة قاعدية لخلايا مولر Muller cells وهي خلايا عملاقة ساندة تمتد بين طبقتي الغشاء المحدد الخارجي والداخلي وتتموضع نواها ضمن الطبقة النوية الداخلية (شكل-٧)، وهذا يتفق مع Treuting, and Dintzis (2012) و Beltagy (2014) في الصقر. أوضحت نتائج سمك طبقات الشبكيه ان الطبقة النوية الداخلية هي الأكثر سمكاً".



شكل (٤): سمك طبقات الشبكة الظهرية ( $\mu\text{m}$ ) في عين الصقر البني.

جدول (١): سمك طبقات الشبكية الظهرية ( $\mu\text{m}$ ) في عين الصقر البني .

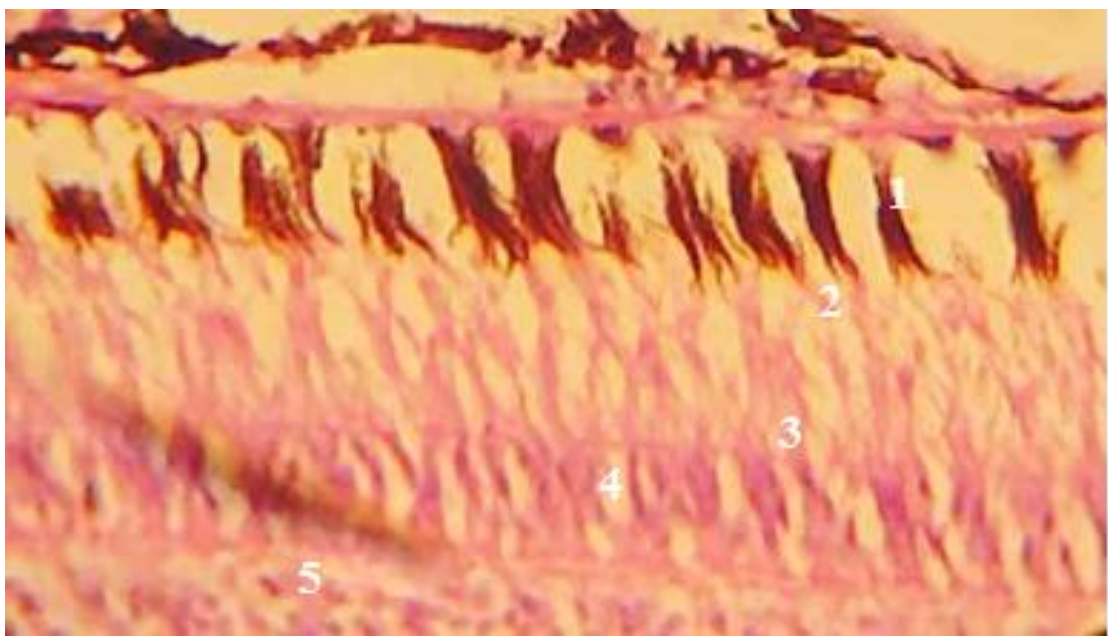
الطبقات	ن	سمك الطبقة (المعدل $\pm$ الانحراف المعياري)
pigmented epithelium layer (PEL)	١	<b><math>33.87 \pm 6.58</math> bc</b>
optic cells layer (OCL)	٢	<b><math>55 \pm 2.04</math> c</b>
outer limiting membrane (OLM)	٣	<b><math>22.5 \pm 2.88</math> ab</b>
outer nuclear layer (ONL)	٤	<b><math>33.75 \pm 4.33</math> bc</b>
outer plexiform layer (OPL)	٥	<b><math>22.5 \pm 4.56</math> ab</b>
inner nuclear layer (INL)	٦	<b><math>161.87 \pm 40.17</math> e</b>
inner plexiform layer (IPL)	٧	<b><math>96.8 \pm 13.28</math> d</b>
ganglionic cell layer (GCL)	٨	<b><math>11.25 \pm 8.29</math> a</b>
optic nerve fiber layer (ONFL)	٩	<b><math>10.62 \pm 7.3.75</math> a</b>
inner limiting membrane( ILM)	١٠	<b><math>2.5 \pm 0</math> a</b>

(SE) Standard Error,(PEL) pigmented epithelium,(OCL) optic cells layer, (OLM) outer nuclear layer, (OPL) outer plexiform layer, outer limiting membrane, (ONL) (INL) inner nuclear layer, (IPL)inner plexiform layer, (GCL) ganglionic cell layer, (ONFL) optic nerve fiber layer, (ILM) inner limiting membrane.

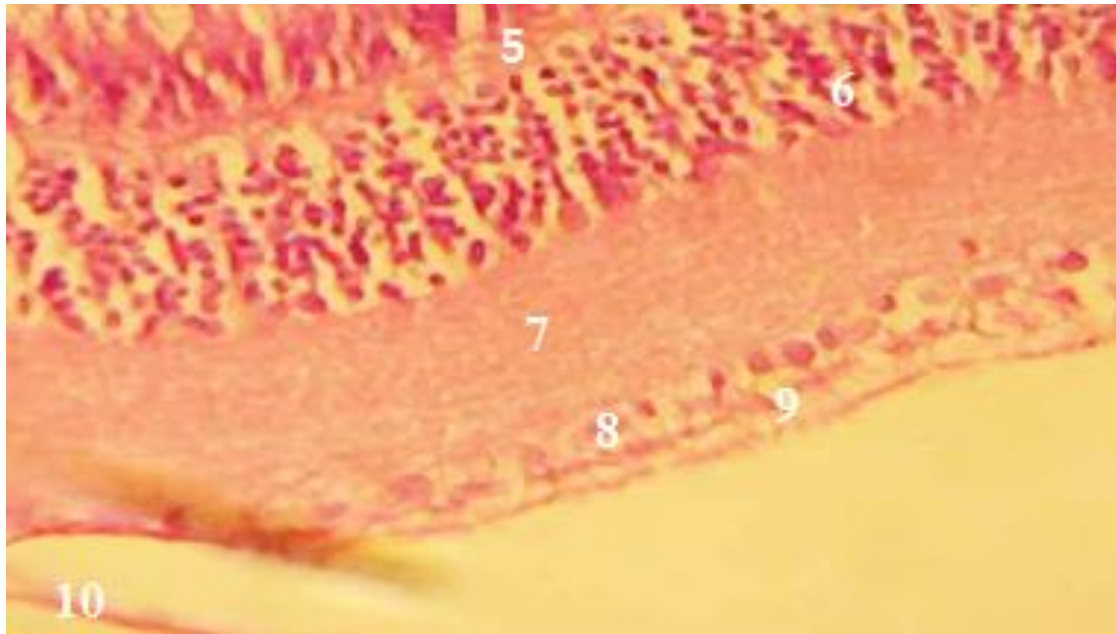
الحروف الصغيرة المختلفة تشير الى وجود فروق معنوي



شكل (٥): مقطع طولي يوضح تركيب المشط pectine في عين الصقر ملون الهيماتوكسيلين - ايوسين.  $\times 10$ .



شكل (٦): مقطع طولي يوضح طبقات شبكة العين في الصقر .(١) الطبقة الخضابية الظهرارية، (٢) طبقة الخلايا البصرية، (٣) الغلاف المحدد الخارجي، (٤) الطبقة النوية الخارجية، (٥) الطبقة الضفيرية الخارجية، ملون الهيماتوكسيلين - ايوسين.  $\times 400$ .



شكل (٧): مقطع طولي يوضح طبقات شبکية العين في الصقر: (٥) الطبقة الضفيرية الخارجية، (٦) الطبقة النووية الداخلية، (٧) الطبقة الضفيرية الداخلية ، (٨) طبقة الخلايا العقدية، (٩) طبقة الاليف العصبية البصرية ، (١٠) الغلاف المحدد الداخلي ، ملون الهيماتوكسيلين - ايوسين. X٤٠٠

### الاستنتاج Conclusion

- ان الاختلاف في كثافة الخلايا البصرية يعود الى زيادة حدة البصر وتحسس مستوى الضوء
- ان نسب المخاريط اكثر من القضبان في شبکية عين طائر الصقر لكونه ذو نشاط نهاري لذلك يحتاج الى امتصاص اكبر كمية من الضوء لزيادة حدة البصر والرؤية اللونية ولتمكنه من رؤية الفرائس بكل الاتجاهات.

### النحوثيات Recommendation

- اجراء دراسة مقارنة للشبکية في عيني الصقر البني (اليمين واليسار).
- اجراء دراسة مقارنة لشبکية العين مع الطيور اكلة النباتات والحشرات.
- اجراء دراسة مقارنة لشبکية العين مع الطيور ذات النشاط الليلي.
- اجراء دراسة هستوكيميائية لمعرفة نوع البروتينات الموجودة في الشبکية.

## ***Histological Study of dorsal Retina in Brown Falcon in iraq***

### **Abstract**

This study aimed to recognize the histological structure of dorsal retina in the eye of brown falcon. The results showed that, the dorsal retina of the falcon was consists of two main layers: Pigmented epithelium and Neural layer which composed of nine layers are: Visual cells layer, Outer limiting membrane, External nuclear layer, External plexiform layer, Internal nuclear layer, Internal plexiform layer, Ganglion cell layer, Optic nerve fiber layer and Inner limiting membrane. The pigmented epithelium consists of cuboidal epithelial cells, extending cytoplasmic projection toward visual cells. Visual cell layer was composed of rods and cones. The inner plexiform layer is thicker than the outer plexiform layer. The number of rows in outer nuclear layer less than the number of rows in the inner nuclear layer in falcon. It can be concluded that the differences in the density of visual cells was due to increase visual acuity and light level sensitivity.

**Keywords:** Retina, histology, falcon

### **References:**

- Abed, A. A. ; Ahmed D. F. and H. M. Hamodi. (2010). Anatomical and histological study of eye structure in the Iraqi pin – tailed sandgrouse bird *Pterocles alchata caudarus*. *Tikrit Journal of Pure Science*. 15(2):246 – 260.
- Al-hamadany, A. M. T. A. (2012). Comparative Anatomical, Histological with Developmental Study at Light and Electron Microscopic Level of Eye and Alimentary Canal for three Species of Birds which Differ in Nutrient Nature. pp: 82- 104,141-166.
- Al-jaboori, Sh. A. A. (2014). Comparative Morphological and Histological Study of the Eye in two Species of Iraqi birds (*Falco tinnunculus L.* and *Streptopelia decaocto F.*). M.Sc. Thesis. College of Science for Women. Baghdad university. pp: 50-81,97-99.

Al-Robaae, S. J. M. ; Mirhish, Sh. M. and Rajab, J. M.. (2012). Histological studies on the ciliary body of the falcon "S Eye ball (*Circus Cyaneus C.*) under light and electron microscopy. The Iraqi Journal of Veterinary Medicine, 36(2):83 – 92 .

Al-Sheikhly, O. F. and M. Kh. Haba. (2014). The Field Guide to the Wild Mammals of Iraq. Faraaheedi house publishing and distribution / Baghdad . pp: 54 .

*Bonney, R.; Rohrbaugh, Jr., Ronald, (2004), Handbook of Bird Biology (2nd ed.), Princeton, NJ: Princeton University Press, ISBN 0-938027-62-X*

Charng, J.;Nguyen, C.; Bui, B.V. and Vingrys, A(2011).Age-lated retinal function cha nges in albino and pigmented rats.*Invest.,Ophthalmol,Vis,Sci.* Vol.52(21):8891-8899.

Cuenca,N.;Pinilla,L.;Sauve,Lu.b.;wang,S. and Lumd,R.D. (2004).Regressive and reaction changes in the connectivity patterns of rods and cones pathways of rat retina.*NeuroScience*,127:301-317

Dayan, M. O. and Ozaydin ,T.. (2013). A Comparative Morphometrical Study of the Pectin Oculi in Different Avian Species. *The Scientific World Journal*. pp:1-5.

Fleming, M.D.;Benca,R.M. and Behan,M. (2006).Retinal projectons to the subcortical visual system in congenic albino and pigmented rats.*Neuroscience*,143(3):895-904.

Gali, M. A. and Dauod, H. A. M.. (2014). Comparative Anatomy of Chordates, 2nd ed., Dar Al – Doctor the Administrative and Economic Sciences, Pp: 800 – 823.

Harvey, A.(2004). The rat nervous system,*Champ*.32,Visual system,3d ed.*Elsevier press*.

Hassan,R.S.(2023): Comparative anatomical. histochemical, and ultra structural study of parts of nervouse system in *Falcon* and *Barn owel*. Phd thesis.*collage of science. Babylon university*.

- Jones, M. P.; Pierce, K. E. and Ward, D. (2007). Avian vision: A review of form and function with special consideration to birds of prey. *J. Exotic Pet. Medicine.* 16(2):69 – 87 .
- Jones, M.P.; Pierce, K.E. Jr. and Ward, D.(2007). Avian vision: a review of form and function with special consideration to birds of prey. *J Exotic Pet Med.*;16(2):69–87.
- .Kim, K. H.; Puoris'haag, M.; Maguluri, G. N.; Umino, Y.; K.; Cusato Barlow, R. B. and de Boer, J. F.. (2008). Monitoring mouse retinal degeneration with high-resolution spectral-domain optical coherence tomography. *Journal of Vision*, 8(1):17, 1–11.
- Kandel, E.R.;Schwart,J.H. and Jesel,T.M (2000). Principles of neural science. 4<sup>th</sup>.ed.Mc.Graw.Hill.NY,515-520.
- Kardong, K. V. (2012). Vertebrates Comparative Anatomy, Function, Evolution, 6 th ed., McGraw – Hill . pp 681 – 690.
- Kiama, S. G.; Maina, J. N.; Bhattacharjee, J.and Weyrauch, K. D. (2001). "Functional morphology of the pecten oculi in the nocturnal spotted eagle owl (*Bubo bubo africanus*), and the diurnal black kite (*Milvus migrans*) and domestic fowl (*Gallus gallus var. domesticus*): a comparative study". Journal of Zoology.* **254**: 521–528.
- Mescher, A. L. (2013). Junqueira's basic histology Text and Atlas, 13th ed., McGraw Hill. pp: 489 – 494.
- Oliveira, F. G.; Andrade, B. L. ; Cavalcante, J. S.; Silva, S. F.; Soares, J. G.; Lima, R. R. M.; Nascimento, Jr., E. S.; Cavalcante, J. C.; Resende, N. S. and Costa, M. S. M. O. (2014) . The eye of the crepuscular rodent rock cavy (*Kerodon rupestris*) (Wied, 1820) . *J. Morphol. Sci.*, 31(2): 89-97.
- Payne, B.R. and Rushmore,R.J.(2002). The special relation ship between β retinal ganglion cells and cat primary visual cortex.561-607.
- Saenz-de-Viteri, M. ; Heras-Mulero, H.; Fernández-Robredo, P.; Recalde, S.; Hernández, M.; Reiter, N.; Moreno-Orduña, M. and García-Layana., A. (2014). Oxidative Stress and Histological Changes in a

Model of Retinal Phototoxicity in Rabbits . Oxidative Medicine and Cellular Longevity . pp: 1-10.

Samuelson, D.(1991). Ophthalmic anatomy. In: Gelatt KN, ed: *Veterinary Ophthalmology*. 3rd ed. Baltimore, MD, Lippincott Williams & Wilkins,;31–150.

Shaimaa, A., A.(2018). Comparative Histological Study of the Retina in the Two Types of Iraqi Vertebrates. International Journal of Science and Research,7(1): 2319-7064

She, Q.; An, Z.; Xia, C.; Kong, Y. and Chen, E.. (2014). Study on comparative histology of retinas in *Ctenopharyngodon idella*, *Cynops orientalis*, *Bufo bufo gargarizans*, *Gekko japonicas* and *Columba livia*. Internationa journal of Morphology, 32(3):918-922.

Szabadfi1, K. ; Estrada, C.; FernandezVillalba ,E.; Tarragon, E.; Setalo, Jr. G.; Izura, V.; Reglodi, D.; Tamas, A.; Gabrie, R. and Herrero, M. T.. (2015). Retinal aging in the diurnal Chilean rodent (*Octodon degus*): histological, ultrastructural and neurochemical alterations of the vertical information processing pathway. Frontiers in Cellular Neuroscience. 9 (126) : 1-14.

Treuting, P. M. and Dintzis ,S. M.. (2012).Comparative Anatomy and Histology A Mouse and Human Atlas, 1st ed., Elsevier Inc. pp: 403 – 405. 22.